



نسخه از دور

GIS ایران

سنجش از دور و GIS ایران سال دوازدهم، شماره چهارم، زمستان ۱۳۹۹  
Iranian Remote Sensing & GIS Vol.12, No. 4, Winter 2021

۵۳-۷۲

مقاله پژوهشی



## تحلیلی بر تغییرات و پیش بینی روند کاربری اراضی شهر ارومیه با استفاده از مدل SVM و شبکه‌های عصبی

علی خدمت‌زاده<sup>۱\*</sup>، میرنجف موسوی<sup>۲</sup>، حجت محمدی ترکمانی<sup>۳</sup>

۱. کارشناس ارشد سنجش از دور و GIS، دانشگاه تبریز، تبریز

۲. دانشیار جغرافیا و برنامه‌ریزی شهری، دانشگاه ارومیه، ارومیه

۳. دانشجوی دکتری برنامه‌ریزی شهری، دانشگاه تبریز، تبریز

تاریخ پذیرش مقاله: ۱۳۹۹/۰۵/۱۳

تاریخ دریافت مقاله: ۱۳۹۸/۰۳/۰۷

### چکیده

رشد جمعیت شهرنشین با افزایش فضاهای شهری و به‌طور کلی، با رشد اندازه شهرها همراه بوده است. این امر به‌صورت ساخت‌وساز بیشتر و تغییر اراضی موجود به‌نفع فضاهای ساخته‌شده بروز می‌یابد. موقعیت خاص شهر ارومیه در مجاورت دریاچه ارومیه و شرایط نامساعد این دریاچه لزوم توجه به برنامه‌ریزی صحیح کاربری اراضی را، در این شهر، ناگزیر می‌کند. یکی از ابزارهای مورد نیاز برای برنامه‌ریزی مناسب، در این زمینه، بهره‌گیری از تکنیک‌های سنجش از دور است. پژوهش حاضر با هدف ارزیابی این تغییرات (دوره ۲۰۱۵-۱۹۸۹) و پیش‌بینی روند آتی آن صورت گرفته است. از روش‌های SVM و شبکه عصبی برای ارزیابی تغییرات در پنج کلاس استفاده شده است. ضریب تعیین (۰.۷۳) و منحنی راک (۰.۸۲۵۵) نیز بیانگر دقت بالای مدل شبکه عصبی برای پیش‌بینی تغییرات گسترش شهری‌اند. با توجه به دقت بالای این مدل، که می‌تواند نتایج واقعی‌تری ارائه دهد، از نتایج این نوع طبقه‌بندی در پیش‌بینی تغییرات برای افق ۲۰۴۵ استفاده شده است. اراضی ساخته‌شده در سال ۱۹۸۹ برابر با ۷۴۶۹.۱ هکتار بوده که در سال ۲۰۰۲ و ۲۰۱۵، به‌ترتیب، به ۹۲۱۷.۳ و ۹۴۳۶.۹ هکتار رسیده است. در سال ۲۰۴۵، براساس مدل پیش‌بینی شبکه عصبی، برابر با ۲۲۴۴۹.۶ هکتار خواهد بود که ۱۳۰۱۲.۷ هکتار افزایش را در اراضی ساخته‌شده نشان می‌دهد. نتایج حاصل گویای این است که تمامی این ساخت‌وسازها بر مبنای نیاز واقعی شهر نبوده و پدیده اسیرال (گسترده‌گی شهری) اتفاق افتاده است.

کلیدواژه‌ها: طبقه‌بندی، شهر ارومیه، شبکه عصبی، SVM، MLP.

\* نویسنده مکاتبه‌کننده: استان آذربایجان غربی، شهرستان ارومیه، محله دره چایی، کوی بنفشه، کوچه هشتم، پلاک ۲۵

## ۱- مقدمه

رشد تعداد جمعیت شهرها گسترش و رشد فضایی آنها را به دنبال دارد که، در نتیجه آن، زمین‌های بیشتری زیر ساخت‌وساز می‌رود و محدوده شهر روزبه‌روز گسترده‌تر می‌شود. این گسترش در نتیجه تغییر در کاربری اراضی صورت می‌گیرد؛ بدین معنی که کاربری زمین، از هر نوع آن، به زمین ساخته‌شده تبدیل می‌شود. در نگاه اول، این امر طبیعی به نظر می‌رسد و شهر به صورت موجوی زنده رشد خواهد کرد. اما اهمیت بحث زمانی آشکار می‌شود که بدانیم زمین‌هایی که زیر ساخت‌وساز می‌رود گاه ارزشمندترین اراضی دارای قابلیت کشاورزی‌اند؛ از این رو، کاهش روزافزون این اراضی به معنی تهدید امنیت غذایی ساکنان شهر و حوزه نفوذ آن است. در نتیجه، از این رشد با عنوان «پدیده گسترده‌گی شهری» یاد می‌شود. گسترده‌گی شهری همراه با تغییرات کاربری اراضی مشکلاتی از نظر اجتماعی، اقتصادی و زیست‌محیطی در پی دارد؛ مانند از بین رفتن اراضی کشاورزی و باغات، اتلاف انرژی، تخریب منابع زیست‌محیطی، افزایش هزینه‌های شهرداری، که می‌تواند منجر به کاهش کلی در تراکم شهری و افزایش استفاده از اتومبیل شود (Chiotti, 2004). از میان تمامی کاربری‌ها، شهرها، با توسعه فیزیکی‌شان، از عوامل اصلی در تغییر کاربری و پوشش زمین محسوب می‌شوند و آثار توسعه کالبدی آن گسترش در حاشیه شهر یا منطقه دهه شهرها و آن سوی مرزهای اداری شهرهاست (شبیعه، ۱۳۷۷). گسترده‌گی شهری سبب تغییر در زمین‌های زراعی و باغی می‌شود و یا مراتع و جنگل‌ها، دامنه‌های کم‌وبیش شیب‌دار، کوه‌ها و تپه‌ها را دربر می‌گیرد (ضیا توانا و قادرمزی، ۱۳۸۸). کمیابی زمین و نبود امکان تولید آن در سطح کره زمین ایجاب می‌کند که نحوه بهره‌برداری و مدیریت آن سازماندهی مطلوبی داشته باشد. تغییر کاربری یکی از معضلات اساسی در حوزه کشاورزی محسوب می‌شود و در درازمدت، روند و توازن تولید محصولات کشاورزی را مختل خواهد کرد (توکلی و

همکاران، ۱۳۹۴). با مشخص شدن نوع تغییرات کاربری و پیشنهاد راهکارهایی برای جلوگیری از تغییر کاربری و گسترده‌گی شهری، در جهت نیاز به زمین، احتمال دارد مشکلات حاصل از گسترده‌گی شهری کاهش یابد و تغییرات ایجادشده کمتر موجب از بین رفتن اراضی کشاورزی و فضاهای سبز اطراف شهرها و مراتع و جنگل‌ها شود (روستایی و همکاران، ۱۳۹۱). بنابراین، داشتن اطلاعات به‌روز در مورد پوشش اراضی، به‌ویژه در مناطق شهری، و آگاهی از تغییرات و تحولات آن در طول دوره زمانی خاصی برای برنامه‌ریزان و مدیران بسیار حائز اهمیت است؛ به همین دلیل، استفاده از روش‌های آشکارسازی تغییرات برای مشخص کردن روند تغییرات با گذشت زمان ضروری به نظر می‌رسد (کاظم و همکاران، ۱۳۹۴). همچنین، در کنار آشکارسازی تغییرات گذشته یک منطقه، پیش‌بینی و مدل‌سازی تغییرات آینده نیز، برای آگاهی از کمیت و کیفیت تغییرات رخ داده در طول زمان، بسیار اهمیت دارد. مشخص کردن تغییرات گذشته به برنامه‌ریزان کمک خواهد کرد برای جبران خسارت‌ها بکوشند و اشتباهات گذشته را تکرار نکنند. در چهار دهه گذشته، تغییرات کاربری اراضی/پوشش گیاهی در ایران با سرعت فزاینده، در بعضی جهات نامطلوب، به‌وقوع پیوسته و این باعث تشدید روند تخریب منابع محیطی شده است (Lu et al., 2004؛ آرخی و همکاران، ۱۳۹۰). تهیه نقشه پوشش و کاربری اراضی در مدیریت منابع شهری و به‌موازات آن، تغییراتشان در طول زمان، برای برنامه‌ریزی و قانون‌گذاری، شناسایی نواحی و نقاط تحت فشار محیطی و نیز ارزیابی توسعه ناحیه‌ای اهمیت بسیاری دارد. در واقع، کسب اطلاعات از نسبت تغییرات پوشش اراضی و کاربری اراضی نقش پررنگی در مدیریت پوشش اراضی فعلی ایفا می‌کند (محمودی و همکاران، ۱۳۹۴؛ شنائی هویزه و زارعی، ۱۳۹۵). می‌توان گفت شهر ارومیه، از جهات بسیاری، با باغات و زمین‌های کشاورزی محصور شده است؛ بنابراین، رشد

بیشترین دقت را به نسبت روش حداکثر احتمال دارد. گو<sup>۱</sup> همکاران (۲۰۱۲)، در مقایسه‌ای که بین دو طبقه‌بندی شبکه عصبی و ماشین بردار پشتیبان روی تصاویر ETM+ برای استخراج کاربری اراضی در شهر ووهان چین انجام دادند، نتیجه گرفتند که هر دو نوع طبقه‌بندی دارای دقت بالای ۹۷٪ هستند. سفیانیان و همکاران (۱۳۹۰)، برای تهیه نقشه کاربری اراضی حوزه آبخیز کبودرآهنگ، رزن و خونجین- تلخاب در استان همدان، با روش شبکه عصبی مصنوعی، از تصاویر IRS-P6 استفاده کردند. ضرب کاپا و دقت کلی طبقه‌بندی، به ترتیب، ۸۶٪ و ۸۸٪ برآورد شد. این مطالعه نشان داد که روش یادشده امکان تهیه نقشه پوشش اراضی و الگوی کشت را با دقت بالا، داراست. یوسفی و همکاران (۱۳۹۰) تغییرات کاربری و پوشش اراضی شهر مریوان را با استفاده از تصاویر سنجنده‌های TM و ETM+ ماهواره لندست، بین سال‌های ۱۳۶۸ تا ۱۳۸۴، بررسی کردند. نتایج این تحقیق نشان داد که بیشترین تغییرات مربوط به اراضی کشاورزی و جنگلی بوده است. حاجی‌نژاد و همکاران (۱۳۹۳)، در پژوهشی، تغییرات کاربری اراضی را با سه روش حداکثر احتمال، شبکه عصبی و ماشین بردار پشتیبان، طی بازه زمانی ۱۳۶۶ تا ۱۳۸۸، با استفاده از داده‌های رقومی لندست، در شهرستان شهریار پایش کردند. طبق نتایج این تحقیق، توسعه شهری منطقه طی دوره ۲۲ ساله، روندی افزایشی داشته و در مقابل، توسعه اراضی کشاورزی روندی کاهشی داشته است. روستایی و همکاران (۱۳۹۱)، با استفاده از تصاویر ماهواره‌ای چندزمانه،

شهری، اگر با هوشمندی و برنامه‌ریزی نباشد، این اراضی را نابود خواهد کرد که این امر در تغییر اکوسیستم منطقه‌ای و امنیت غذایی آن تأثیرگذار است. اهمیت این نکته با کم‌آبی و خشکی دریاچه ارومیه دوچندان می‌شود. آگاهی از تغییرات به‌منظور برنامه‌ریزی صحیح و صیانت از اراضی کشاورزی موجود و جلوگیری از تخریب بیش‌ازپیش این منابع حیاتی لازم و ضروری است. تصاویر سنجش از دور و ابزارهای آن امکانات بی‌بدیلی را در این شناخت و برنامه‌ریزی متعاقب آن، در اختیار ما قرار داده است. نکته‌ای که مهم می‌نماید پایش و به‌تصویرکشیدن پیوسته این تغییرات برای اصلاح در رویه‌ها و برنامه‌های موجود توسعه است. این پژوهش، با هدف یادشده، به‌منظور شناخت تغییرات کاربری اراضی شهر ارومیه و پیش‌بینی روند آتی انجام شده است. طبقه‌بندی و تهیه نقشه تغییرات کاربری‌های اراضی یکی از پرکاربردترین موارد در استفاده از داده‌های سنجش از دور است (Guo et al., 2012). طبقه‌بندی‌کننده‌ها را می‌توان در دو دسته عمومی و پیشرفته قرار داد. از روش‌های طبقه‌بندی عمومی، می‌توان به حداکثر احتمال (MLC)<sup>۱</sup> و کمترین فاصله<sup>۲</sup> اشاره کرد. از طبقه‌بندی‌های پیشرفته نیز، شبکه‌های عصبی مصنوعی<sup>۳</sup>، درخت تصمیم‌گیری<sup>۴</sup>، ماشین بردار پشتیبان<sup>۵</sup> و طبقه‌بندی شیء‌گرا<sup>۶</sup> را می‌توان نام برد (Richards, 2013).

## ۲- مرور تحقیقات گذشته

در همین زمینه، به پژوهش‌های صورت‌گرفته به‌طور خلاصه اشاره می‌شود.

هوانگ<sup>۷</sup> و همکاران (۲۰۰۲) در تحقیقی میزان دقت روش ماشین بردار پشتیبان را که با کرنل‌های متفاوت انجام شده بود، با سه روش طبقه‌بندی شبکه عصبی، حداکثر احتمال و طبقه‌بندی ساختار درختی، مقایسه کردند. نتایج آنها نشان داد که روش ماشین بردار پشتیبان (SVM) و شبکه عصبی (NNC)

1. Maximum Likelihood Classification
2. Minimum Distance Classification
3. Artificial Neural Networks Classification
4. Decision Tree
5. Support Vector Machine
6. Object Based
7. Huang
8. Guo

بهرام سلطانی، ۱۳۷۱) و این توسعه نامنظم شهری ممکن است تغییرات گسترده‌ای در شرایط محیطی کاربری‌های دیگر پدید آورد (جرجانی، ۱۳۸۸). یکی از ضرورت‌های جهان کنونی برنامه‌ریزی برای ارتقای پایداری در شهرهاست. در این زمینه، استراتژی‌های متفاوتی اتخاذ شده است؛ همچون افزایش سرانه فضای سبز شهری یا توجه به رهیافت‌هایی مانند جنبش رشد هوشمند در جوامع گوناگون (زالی و همکاران، ۱۳۹۲). الگوی توسعه شهری پراکنده یا اسپرال<sup>۱</sup> شهری پس از جنگ جهانی دوم و به‌ویژه در دهه ۱۹۶۰، به‌مثابه الگوی غالب توسعه فضایی شهری، در سرتاسر جهان، با تفاوت در تاریخ و علل و پیامدها نمایان شده است (Gomez-Antonio et al., 2014) و تا مدت مدیدی، از پدیده‌های ویژه شهرهای آمریکایی در نظر گرفته می‌شد که به دلیل وفور زمین‌های ارزان، ساخت بی‌رویه جاده‌ها و تولید بیش از اندازه ماشین در این کشور رخ داد. اما این امر امروز به پدیده‌ای جهانی تبدیل شده است که بیشتر شهرهای کشورهای توسعه‌یافته و در حال توسعه با آن روبه‌رو هستند (مشکینی و همکاران، ۱۳۹۵). در کشورهای جهان سوم، اسپرال شهری بیشتر نتیجه سبقت‌گرفتن شهرنشینی بر برنامه‌ریزی شهری، سیاست‌های نامناسب دولت‌ها در زمینه مسکن و زمین، مهاجرت روستا-شهری و تلاش گروه‌های متوسط درآمدی برای یافتن مسکن دوم و باصرفه در حاشیه شهر است (محمدیان و همکاران، ۲۰۱۶). امروزه، ابزارهای نوینی برای درک تحولات و الگوسازی تغییرات فضایی-زمانی مناطق شهری ابداع شده‌اند تا، با شناخت جنبه‌های توسعه، برنامه‌ریزان را در تدوین راهبردهای مبتنی بر توسعه پایدار، یاری کنند (Berling-Wolff & Wu, 2004). از جمله این الگوها، سلول‌های خودکار، الگوهای چندعاملی و نیز استفاده از الگوریتم‌های پیچیده‌ای نظیر شبکه عصبی مصنوعی در این الگوریتم‌هاست (Berling-Wolff & Wu, 2004; Portugali et al., 2012; Portugali, 2011).

به سنجش فضایی گسترده‌ی شهر ارومیه، با تأکید بر تغییرات کاربری اراضی، پرداختند و نتایج این تحقیق نشان می‌دهد، در دوره ۱۳۹۰-۱۳۶۳، ۱۷۱۸۸۵ هکتار از اراضی شهر ارومیه تغییر کاربری داده است که بیشترین آن مربوط به کشاورزی آبی با ۷۶۷۲ هکتار می‌شود. همچنین، پیش‌بینی می‌شود در سال ۱۴۰۰ حدود ۲۴۰۸ هکتار بر اراضی ساخته‌شده افزوده خواهد شد. مشکینی و همکاران (۱۳۹۲) به سنجش گسترده‌ی شهری کرج، طی دوره ۱۳۶۳-۱۳۹۱، و تأثیر آن در تغییرات کاربری اراضی پرداختند. نتایج تحقیق نشان می‌دهد مساحت اراضی ساخته‌شده در کرج، از ۴۹۰۴ هکتار در سال ۱۳۶۳، به ۱۱۳۰۵ هکتار در سال ۱۳۹۱ رسیده است. نتایج پیش‌بینی با زنجیره‌های مارکوف و سلول‌های خودکار مساحت شهر را در سال ۱۴۰۱، ۱۲۹۵۴ هکتار برآورد کرده است. واکود<sup>۱</sup> و همکاران (۲۰۱۴) گسترده‌ی شهری حیدرآباد هند را با استفاده از تصاویر ماهواره‌ای لندست، ارزیابی کردند. نتایج نشان داد که منطقه شهری پرتراکم، با تغییر کلاس‌های دیگر در دوره ۱۹۸۹-۲۰۱۱، رشد کرده است. همچنین، رشد شهری در منابع آب تأثیر کمی و کیفی گذاشته است. سان<sup>۲</sup> و همکاران (۲۰۱۳)، با استفاده از تصاویر ماهواره‌ای، به کمی‌سازی میزان رشد و پویایی شهر در گوانزو پرداختند. نتایج تجزیه و تحلیل نشان می‌دهد در منطقه شهری، در ابتدا، رشد بیرونی صورت گرفته است که این باعث افزایش پراکندگی و تکه‌تکه‌شدن نواحی می‌شود. سپس رشد در درون صورت می‌گیرد و الگوی شهری فشرده‌ای به وجود می‌آید.

گسترش بی‌رویه شهرک‌ها و مناطق مسکونی و افزایش بی‌برنامه سطوح گوناگون شهری «رشد شهری» نام دارد. در واقع، این مسئله از یک سو انبوهی جمعیت و از سوی دیگر ساختمان‌سازی صرف، بدون توجه به نیازهای حال و آینده، و به عبارتی، افزایش کاربری مسکونی و تخصیص کمترین سرانه‌ها و فضاها به سایر کاربری‌ها را دربر دارد (رحمانی‌فرد، ۱۳۸۷). رشد فیزیکی شهرها اراضی مرغوب کشاورزی را می‌بلعد

1. Wakode

2. Sun

3. Sprawl

### ۳- مواد و روش‌ها

#### ۳-۱- محدوده مورد مطالعه

شهر ارومیه روی مدار ۳۷ درجه و ۳۲ دقیقه در نیمکره شمالی از خط استوا قرار گرفته است. به علاوه، این شهر روی نصف النهار ۴۵ درجه و ۲ دقیقه طول شرقی از نصف النهار گرینویچ قرار دارد. ارومیه، با داشتن موقعیت ممتاز جغرافیایی، در ۲۰ کیلومتری دریاچه ارومیه واقع شده و ارتفاع آن از آب‌های آزاد ۱۳۳۲ متر است. این شهر در دشت ارومیه واقع شده است که ارتفاعاتی چون کوه سیر، کوه قیزقلعه، کوه جهودها، کوه چهل مر شهیدان، کوه ماه، کوه علی پنجه سی و کوه علی ایمان آن را احاطه کرده‌اند. در واقع، این شهر بین دریاچه ارومیه و دیواره کوه‌های غرب استان آذربایجان غربی واقع شده است (سالنامه آماری استان آذربایجان غربی، ۱۳۹۴).

بر پایه نتایج آخرین سرشماری عمومی نفوس و مسکن در سال ۱۳۹۵، تعداد جمعیت ساکن شهر ارومیه بالغ بر ۷۳۶۲۲۴ نفر بوده است. بررسی روند تحول تعداد جمعیت شهر، در شش دهه متوالی منتهی به این زمان، حاکی از آن است که تعداد جمعیت ساکن شهر پیوسته در حال افزایش است؛ هر چند شدت نسبی این افزایش، در دهه‌های متوالی، متفاوت است.

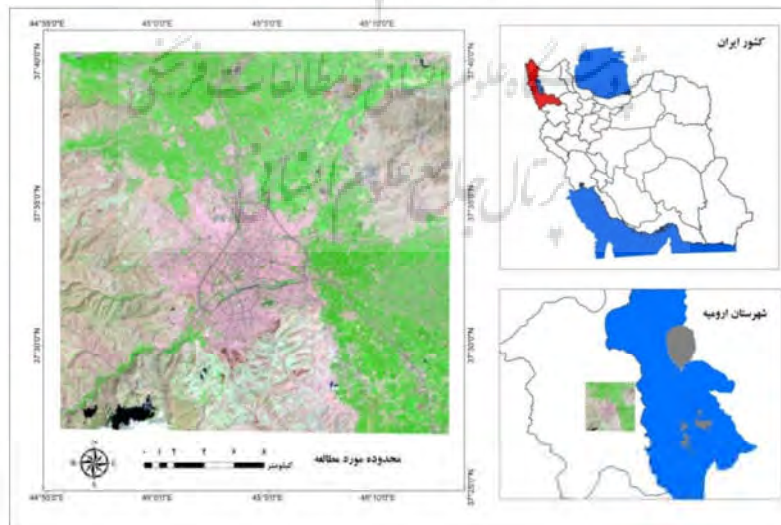
### ۳-۲- روش پژوهش

پژوهش حاضر از نوع توصیفی-تحلیلی است. داده‌های مورد استفاده شامل تصاویر ماهواره‌ای لندست در دوره زمانی ۲۶ ساله، در سه مقطع زمانی ۱۹۸۹، ۲۰۰۲ و ۲۰۱۵ می‌شود. تصاویر ماهواره‌ای سری لندست از باندهایی با طول موج‌هایی متفاوت تشکیل شده که، در موضوع مورد بحث، از ترکیب باندهای ۷ و ۴ و ۲ برای سنجنده‌های TM، ETM+ و ترکیب باندهای ۷ و ۵ و ۳ برای سنجنده OLI استفاده شده است. برای طبقه‌بندی تصاویر و تحلیل آنها، نرم‌افزارهای ENVI و IDRISI و Arc GIS به کار رفته است. همچنین، بخش دیگر داده‌ها به وسعت و جمعیت شهری، در آغاز و پایان دوره، بازمی‌گردد که برای سنجش پدیده گسترده‌گی شهری استفاده شده است.

جدول ۱. مشخصات تصاویر ماهواره‌ای استفاده‌شده

سال اخذ تصاویر	سنجنده	قدرت تفکیک
۱۹۸۹/۰۷/۰۷	TM	۳۰
۲۰۰۲/۰۷/۰۹	ETM+	۳۰
۲۰۱۵/۰۷/۲۴	OLI	۳۰

منبع: earthexplorer.usgs.gov



شکل ۱. موقعیت محدوده مورد مطالعه  
ترسیم: نگارندگان

### ۳-۳- پیش‌پردازش داده‌ها

تصاویر، پس از دریافت، آماده‌سازی شد که این کار مرحله‌ای همچون تصحیح اتمسفری و تصحیح رادیومتریک را دربر می‌گیرد. تغییرات پوشش اراضی با استفاده از روش‌های SVM و شبکه‌های عصبی، در پنج کلاس، طرح و تحلیل شد و در نهایت، با روش شبکه عصبی، پیش‌بینی صورت گرفت. از مدل هلدن نیز برای سنجش گستردگی شهری استفاده شده است.

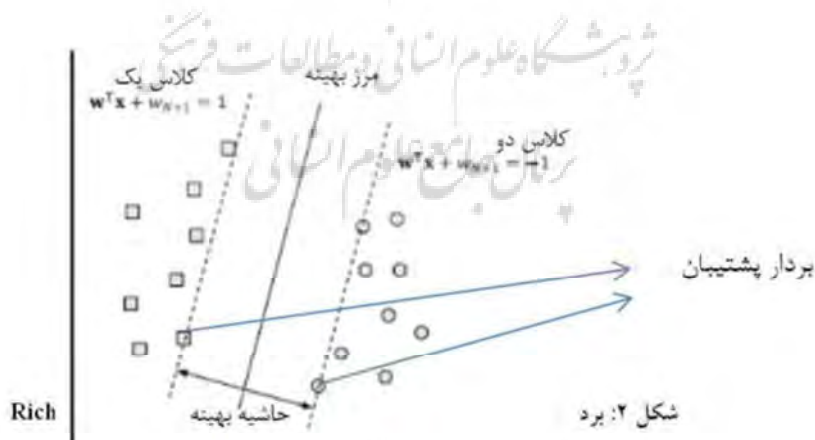
### ۳-۴- پردازش و طبقه‌بندی داده‌ها

سپس، با استفاده از تصویر کالیبره‌شده، طبقه‌بندی ماشین بردار پشتیبان و شبکه عصبی روی تصاویر صورت گرفت. نخستین گام، در طبقه‌بندی نظارت‌شده، تعریف مناطقی است که به‌مثابه نمونه‌های تعلیمی برای هر کلاس به‌کار می‌روند (Eastman, 2006). ابتدا، برای نمایش تغییرات کاربری اراضی در محدوده مورد مطالعه، از روش ماشین بردار پشتیبان بهره برده شده است.

ماشین بردار پشتیبان روشی برای کلاسه‌بندی الگو است که، اولین بار، ولادیمیر واپنیک<sup>۱</sup> آن را معرفی کرد (Borges, 1998; Osuna et al., 1997). واپنیک، محقق روسی، در سال ۱۹۶۵ گامی بسیار مؤثر در طراحی

طبقه‌بندی کننده‌ها برداشت. وی نظریه آماری یادگیری را به‌صورت مستحکم‌تری بنا نهاد و ماشین‌های بردار پشتیبان را بر این اساس مطرح کرد. ماشین بردار پشتیبان، در واقع، یک طبقه‌بندی‌کننده دودویی است. در مورد دو کلاس، این شیوه سعی دارد ابرصفحه‌ای ایجاد کند که فاصله هر کلاس را تا فراصفحه حداکثر می‌نماید. داده‌های نقطه‌ای، که به فراصفحه نزدیک‌ترند، برای اندازه‌گیری این فاصله به‌کار می‌روند؛ از این رو، این داده‌های نقطه‌ای «بردارهای پشتیبان» نام دارند (Vapnik, 1995). این روش براساس نظریه یادگیری آماری بنا نهاده شده که به سال ۱۹۶۰ برمی‌گردد و یک روش آماری غیرپارامتریک نظارت‌شده است (Pao, 1989). در این روش، با استفاده از همه باندها و یک الگوریتم بهینه‌سازی، نمونه‌هایی به‌دست می‌آید که مرزهای کلاس‌ها را تشکیل می‌دهند و با استفاده از آنها، یک مرز تصمیم‌گیری خطی بهینه، برای جداکردن کلاس‌ها، محاسبه می‌شود. این نمونه‌ها را «بردارهای پشتیبان» می‌گویند (کشاورز و قاسمیان یزدی، ۱۳۸۴). در مورد پیکسل‌هایی که بیرون از مرزهای حاشیه‌ای قرار می‌گیرند، با توجه به شکل ۲، رابطه (۱) برقرار است.

$$\text{for } \text{lass1pixels} \quad w^T x + w_{N+1} = -1 \quad (1)$$



شکل ۲. بردارهای پشتیبان به همراه مرز و حاشیه بهینه

1. Vladimir Naumovich Vapnik

عصبی مصنوعی روش مطلوبی در طبقه‌بندی کاربری و پوشش اراضی به‌شمار می‌آیند زیرا می‌توان برای انواع داده‌ها، در مقیاس‌های آماری گوناگون، از آنها استفاده کرد (Gahegan et al., 1999: 6). به‌طور کلی، سه مرحله در طبقه‌بندی شبکه‌ی عصبی وجود دارد. مرحله‌ی اول فرایندی آموزشی، با استفاده از داده‌های ورودی، است؛ مرحله دوم، فاز اعتبارسنجی است که موفقیت فاز آموزشی و صحت شبکه را تعیین می‌کند و مرحله‌ی آخر طبقه‌بندی است که نقشه‌ی طبقه‌بندی‌شده‌ی پوشش یا کاربری اراضی را ایجاد می‌کند (Wijaya, 2005: 15).

این روش طبقه‌بندی دارای مزایای زیر است:

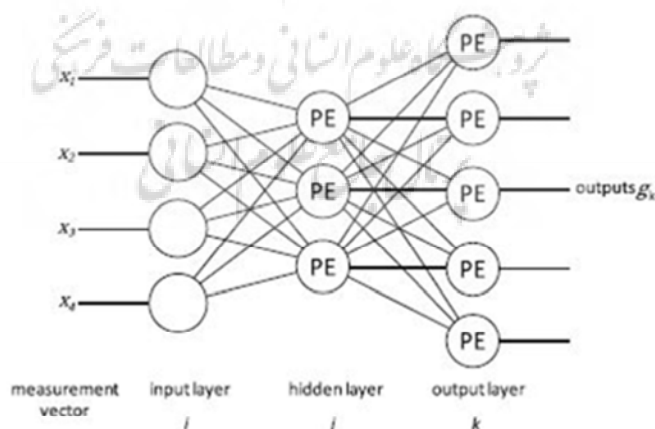
۱. ماهیت غیرپارامتریک؛
۲. سازگاری آسان با انواع گوناگون داده‌ها و ساختارهای ورودی؛
۳. توانایی شناسایی الگوهای ظریف در داده‌های آموزشی؛
۴. قابلیت تعمیم مناسب براساس الگوهای ارائه‌شده برای شبکه (Liu et al., 2002: 258)؛
۵. توانایی پردازش داده‌های نویزدار (Hung et al., 2004: 1).

روش شبکه‌ی عصبی از ساختار مغز و اعصاب انسان پیروی می‌کند و در میان طبقه‌بندی‌کننده‌های شبکه‌ای، شاید بیشترین محبوبیت را طی دو دهه‌ی گذشته، داشته باشد. این شیوه به چندین شکل وجود دارد که رایج‌ترین آن «پرسپترون چندلایه»<sup>۱</sup> است (Richards, 2013).

کارکرد این روش براساس رابطه (۲) است. در این رابطه،  $\theta$  نشان‌دهنده حد آستانه،  $w^T$  بیانگر بردار وزنی ضرایب و  $x$  بردار ورودی است (Ibid.).

$$\text{رابطه (۲)} \quad g = f(w^T x + \theta)$$

یک پرسپترون چندلایه معمولاً از یک لایه ورودی، یک یا چند لایه نهفته و یک لایه خروجی تشکیل شده است که، به ترتیب، اطلاعات را دریافت و پردازش می‌کنند و نمایش می‌دهند (Dixon, Candade, 2008). تا کنون، شبکه‌های عصبی مصنوعی در بسیاری از زمینه‌های مطالعاتی مانند رایانه، روان‌شناسی، زیست‌شناسی، شیمی آلی و جز اینها به کار رفته است. از اواخر دهه ۱۹۸۰، شبکه‌های عصبی مصنوعی برای تحلیل داده‌های سنجش از دور در کاربردهای گوناگون، مانند طبقه‌بندی پوشش اراضی و آشکارسازی ابر، کاربرد داشته است (Watts, 2001: 8). شبکه‌های



شکل ۳. ساختار شبکه‌ی عصبی چندلایه

## 1. Multilayer Perceptron

چه مقدار ناشی از رشد اسپرال شهری بوده است (حکمت‌نیا و موسوی، ۱۳۹۲). فرمول مدل هلدرن به صورت زیر است:

$$\ln\left(\frac{\text{سرانه ناخالص پایان دوره}}{\text{سرانه ناخالص آغاز دوره}}\right) + \ln\left(\frac{\text{جمعیت پایان دوره}}{\text{جمعیت آغاز دوره}}\right) = \ln\left(\frac{\text{وسعت شهر در پایان دوره}}{\text{وسعت شهر در آغاز دوره}}\right)$$

رابطه (۴)

درواقع، نسبت لگاریتم طبیعی جمعیت پایان دوره به آغاز دوره، به‌علاوه نسبت لگاریتم طبیعی سرانه ناخالص پایان دوره به آغاز دوره، با نسبت لگاریتم طبیعی وسعت شهر در پایان دوره به آغاز دوره برابر با عدد ۱ خواهد بود و عدد به‌دست‌آمده از نسبت لگاریتم طبیعی جمعیت پایان دوره به آغاز دوره، به‌علاوه نسبت لگاریتم طبیعی سرانه ناخالص پایان دوره به آغاز دوره، نشان‌دهنده رشد فیزیکی شهر براساس شاخص جمعیت و عدد حاصل از نسبت لگاریتم طبیعی وسعت شهر در پایان دوره به آغاز دوره نیز نشان‌دهنده رشد فیزیکی شهر متأثر از پراکنش شهری است.

برای بررسی صحت طبقه‌بندی، روش‌های متفاوتی وجود دارد که می‌توان به روش دقت کلی<sup>۱</sup>، دقت تولیدکننده<sup>۲</sup>، دقت کاربر<sup>۳</sup> و ضریب کاپا<sup>۴</sup> اشاره کرد. از نظر تئوری احتمالات، دقت کلی به نقش شانس توجه دارد اما ضریب کاپا، به‌دلیل مدنظر قراردادن پیکسل‌های نادرست طبقه‌بندی‌شده، روش مناسب‌تری به‌شمار می‌رود (براتی قهفرخی و همکاران، ۱۳۸۸). برای تعیین ضریب کاپا، از رابطه (۳) استفاده شده است.

$$Kappa = \frac{p_o - p_c}{1 - p_c} \times 100$$

رابطه (۳)

در این رابطه،  $P_0$  درستی مشاهده‌شده و  $P_c$  توافق مورد انتظار است (مظاهری و همکاران، ۱۳۹۲).

در ادامه، برای سنجش گستردگی شهری و اینکه آیا افزایش محدوده ساخته‌شده بر مبنای نیاز واقعی بوده است یا ناشی از رشد بی‌قواره شهر، از مدل هلدرن استفاده شده است. یکی از روش‌های اساسی برای مشخص کردن رشد اسپرال شهری استفاده از روش هلدرن است. با استفاده از این روش، می‌توان مشخص کرد چه مقدار از رشد شهری ناشی از رشد جمعیت و



شکل ۴. مدل عملیاتی تحقیق

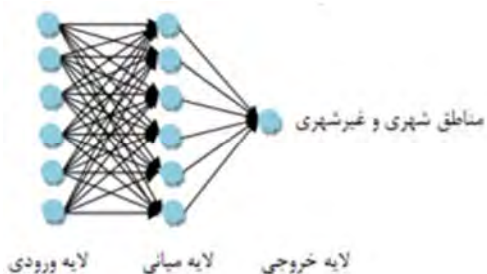
ترسیم: نگارندگان

1. Total Accuracy
2. Producers Accuracy
3. User's Accuracy
4. Kappa Coefficient



مأم  $Y_i$  نامیده شود، مقدار این خروجی طبق رابطه (۶) محاسبه می شود (جوادی، ۱۳۸۷).

$$Y_i = F(Z_i) \quad \text{رابطه (۶)}$$



شکل ۵. نمایی از شبکه MLP مورد استفاده برای مدل سازی توسعه

#### ۴- بحث و یافته ها

شهر ارومیه، طی دوره مورد مطالعه، تغییرات زیادی به خود دیده است و این تغییرات، از نظر بصری، کاملاً محسوس اند (شکل ۶). طبیعی است که گسترش شهر و افزایش ساخت و ساز در نتیجه تغییر سایر انواع کاربری ها به وقوع پیوسته است.

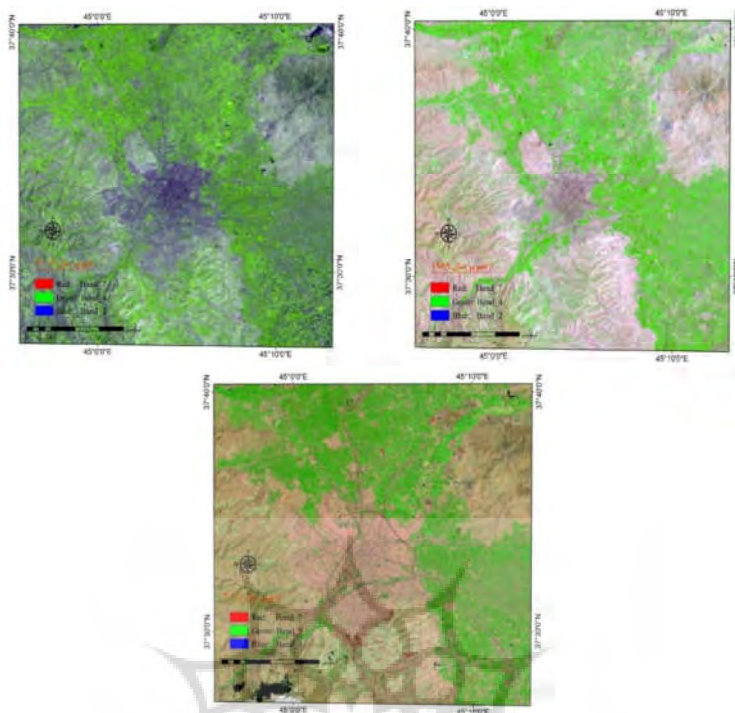
کاربری ها در پنج کلاس (آب، بایر، زراعی، ساخته شده و پوشش گیاهی) طبقه بندی شده است (شکل ۷). در روش طبقه بندی شبکه عصبی نیز، کاربری های اراضی در پنج کلاس طبقه بندی شده اند. براساس این طبقه بندی، در سال ۱۹۸۹، سهم کلاس ساخته شده برابر با ۷۴۶۹.۱ هکتار، کلاس پوشش گیاهی برابر با ۲۱۰۲۵ هکتار، کلاس زراعت ۳۲۴۵۹.۵ هکتار و اراضی بایر ۳۹۴۰.۹ هکتار است. در سال ۲۰۰۲، این میزان برای کلاس ساخته شده برابر با ۹۲۱۷.۳ هکتار، برای کلاس پوشش گیاهی ۲۵۵۰۷.۶ هکتار، برای کلاس زراعت برابر با ۲۶۸۸۳.۹ هکتار و برای کلاس اراضی بایر معادل با ۲۶۹۱.۷ هکتار بوده است. کلاس های طبقه بندی شده در سال ۲۰۱۵، به ترتیب، برابر ۹۴۳۶.۹، ۲۵۲۰۷.۹، ۲۵۵۶۰.۸ و ۳۶۸۶.۶ هکتار بوده است (شکل ۸).

1. Rumelhart

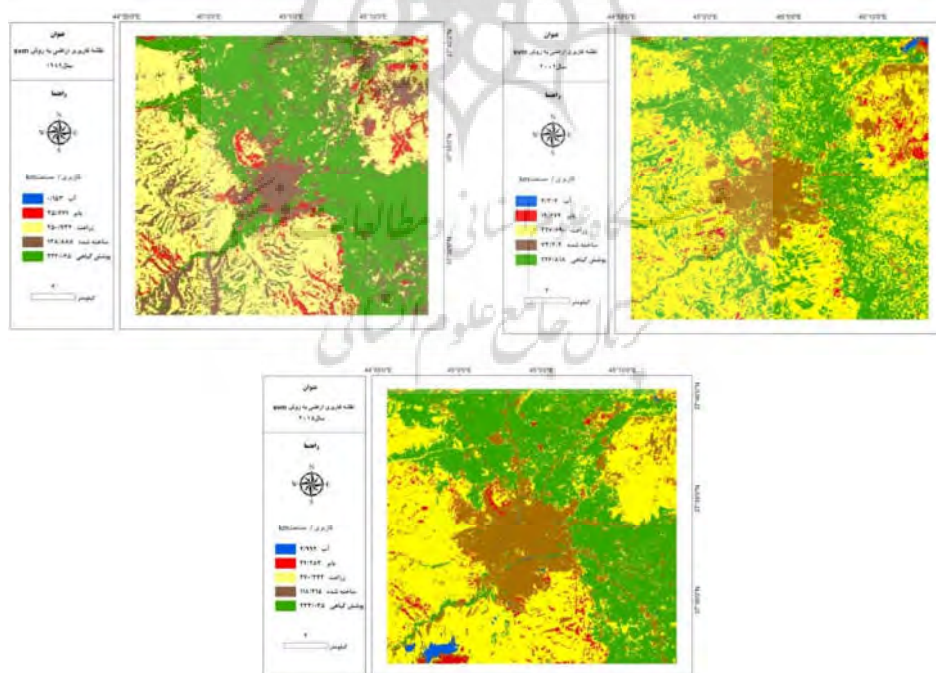
شبکه های عصبی پرسپترون چندلایه، که رامل هارت<sup>۱</sup> و همکاران (۱۹۸۶) طراحی کردند، از پرکاربردترین شبکه های عصبی اند. این شبکه ها از سه لایه ورودی، خروجی و میانی تشکیل شده اند و می توان آنها را برای تشخیص ارتباطات غیرخطی در محیط طبیعی، به کار گرفت. رایج ترین ساختار شبکه پرسپترون مورد استفاده ساختار پیش رونده FF است که، در آن، ورودی هر گره صرفاً از لایه قبل از آن به دست می آید. سیگنال ها (وزن گره ها) در شبکه عصبی مصنوعی به کمک الگوریتم های آموزشی برآورد و با به کارگیری توابع فعال سازی، منتقل می شوند (Pijanowski et al., 2002). با فرض اینکه  $Z_i$  مجموعه سیگنال های دریافتی از طریق نورون  $i$  باشد، این مجموعه طبق رابطه (۸) محاسبه می شود که در آن  $W_i$  وزن قابل تغییر بین مقادیر ورودی  $Z$  و نورون  $i$ ، و  $m$  تعداد نورون های ورودی به نورون  $i$  است.  $X_i$  نیز سیگنال دریافتی از طریق نورون  $i$  از نورون  $Z$  است (جوادی، ۱۳۸۷).

$$Z_i = \sum W_i \quad \text{رابطه (۵)}$$

یکی از معمول ترین این روش ها الگوریتم بازگشتی BP خطاست (شیخ گودرزی و ایمانی هرسینی، ۱۳۸۹). این الگوریتم وزن های اولیه را به صورت تصادفی انتخاب و سپس، خروجی محاسبه شده از طریق شبکه و خروجی واقعی را با کاربرد روش مجذور مربعات خطا، مقایسه می کند. بازخورد سیگنال ها و انتشار بازگشتی خطا در فرایند آموزش تا جایی ادامه می یابد که خطاها به سطحی پایدار برسند. بدین منظور، از فرایند توزیع خطا در بین گره های متفاوت استفاده می شود (Rumelhart et al., 1986). خروجی نورون پرسپترون، که متفاوت از مجموع سیگنال های دریافتی است، با تابع فعال سازی تعیین می شود. این تابع خروجی نورون را در بازه های خاص محدود می کند. در تحقیق حاضر، انتقال سیگنال ها با توجه به ماهیت خروجی مورد انتظار، که احتمال تغییرات گسترده شهری است، به کمک تابع سیگموئید (مقادیر ۰-۱) انجام شد. اگر خروجی نورون

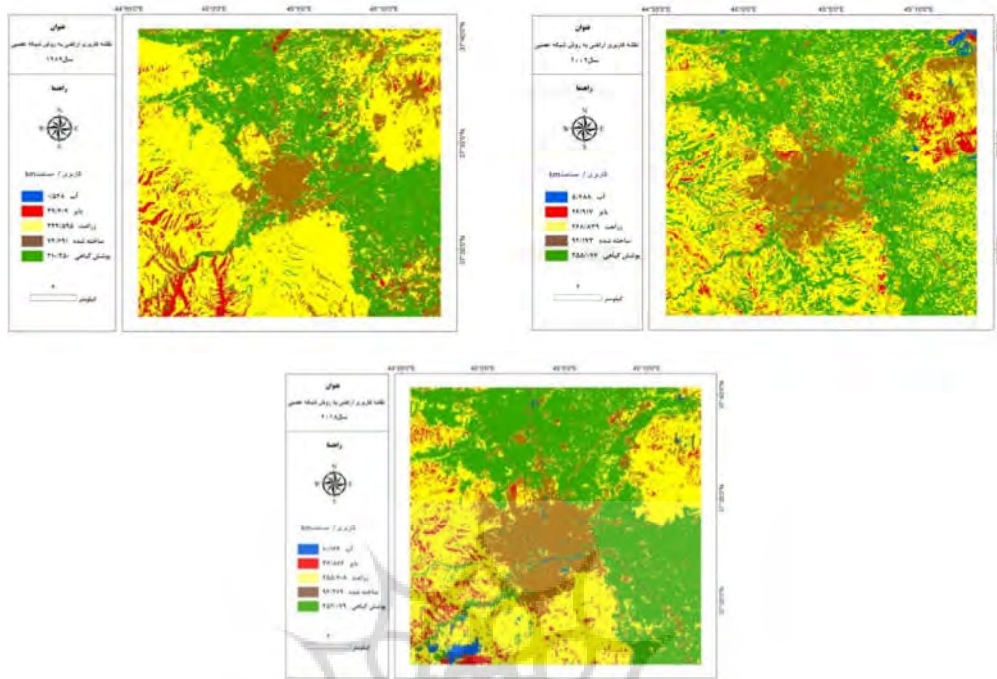


شکل ۶. تغییرات بصری شهر ارومیه و مناطق پیرامونی در سال‌های ۱۹۸۹-۲۰۰۲-۲۰۱۵ ترسیم: نگارندگان



شکل ۷. پوشش‌های زمین، استخراج‌شده از سال‌های ۱۹۸۹ تا ۲۰۱۵، به‌روش ماشین بردار پشتیبان ترسیم: نگارندگان

تحلیلی بر تغییرات و پیش بینی روند کاربری اراضی شهر ارومیه ...



شکل ۸. پوشش های زمین، استخراج شده از سال های ۱۹۸۹ تا ۲۰۱۵، به روش شبکه عصبی  
منبع: یافته های پژوهش

برای نشان دادن دوره دوی تغییرات در کلاس های پوشش اراضی، از جدول کراس تب<sup>۱</sup> استفاده شده است (جدول ۳). نتایج نشان می دهند سهم اراضی ساخته شده در سال ۱۹۸۹، در محدوده مورد مطالعه، برابر با ۱۱.۵۷٪ بوده و در سال ۲۰۱۵، به ۱۴.۵۹٪ رسیده است. طی دوره مورد مطالعه (۱۹۸۹ تا ۲۰۱۵)، بیشترین کاهش در اراضی زراعی صورت گرفته که از ۳۳۱۶۴۰۰ هکتار به ۲۶۰۳۴۰۰ هکتار رسیده است.

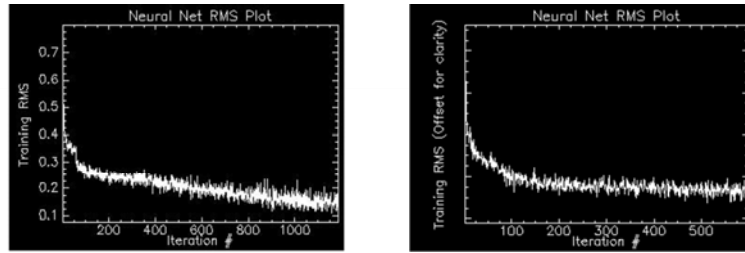
به منظور تعیین دقت دو روش SVM و شبکه عصبی، از دو شاخص دقت کلی و ضریب کاپا استفاده شده و نتایج بیانگر دقت بالای روش شبکه عصبی است (جدول ۲). بنابراین، برای تعیین سطوح و تغییرات کلاس کاربری اراضی در دوره مورد مطالعه (۱۹۸۹ تا ۲۰۱۵)، از نتایج روش طبقه بندی شبکه عصبی استفاده خواهد شد.

جدول ۲. مقایسه دقت طبقه بندی کاربری های استخراج شده به روش SVM و شبکه عصبی

تصاویر	روش SVM		روش شبکه عصبی	
	دقت کلی	ضریب کاپا	دقت کلی	ضریب کاپا
۱۹۸۹	۸۷.۹۳	۰.۸۳	۹۸.۴۱	۰.۹۸
۲۰۰۲	۹۶.۵۵	۰.۹۵	۹۷.۸۵	۰.۹۸
۲۰۱۵	۸۶.۳۷	۰.۸۱	۹۹.۲۷	۰.۹۹

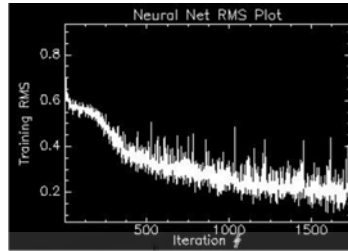
منبع: یافته های پژوهش

1. Cross tab



الف) سال ۱۹۸۹

ب) سال ۲۰۰۲



ج) سال ۲۰۱۵

شکل ۹. خطای جذر میانگین مربعات برای طبقه‌بندی شبکه عصبی

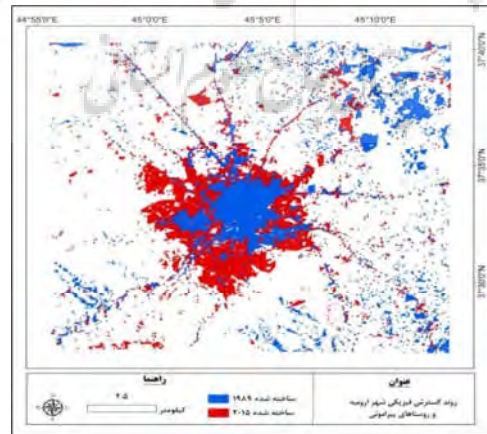
منبع: یافته‌های پژوهش

جدول ۳. مقایسه تغییرات پوشش اراضی براساس تصاویر طبقه‌بندی‌شده ۱۹۸۹ و ۲۰۱۵ (ارقام به هکتار)

کاربری‌ها	اراضی بایر	پوشش گیاهی	آب	اراضی زراعی	اراضی ساخته‌شده	مجموع کلاس‌ها
اراضی بایر	۳۷۲	۱۳۱	۳	۲۸۵۷	۳۵۹	۲۲۳۷
پوشش گیاهی	۲۳۱۱	۱۷۵۳۱	۴	۵۳۵۱	۱۷۵۲	۲۵۷۹۷
آب	۲۱۲	۱۶۲	۱۳	۳۹۴	۲۵۸	۱۰۳۹
اراضی زراعی	۱۸۹۰	۱۷۶۷	۶	۲۰۵۶۱	۱۸۰۹	۲۶۰۳۴
اراضی ساخته‌شده	۳۳۸	۱۸۳۵	۸	۴۰۰۱	۳۴۹۰	۹۶۷۲
مجموع کلاس‌ها	۳۹۴۵	۲۱۴۲۷	۷۰	۳۳۱۶۴	۷۶۶۸	۶۶۲۶۴

\* در جدول ۳، ستون‌ها نشان‌دهنده سال ۱۹۸۹ و سطرها بیانگر سال ۲۰۱۵ هستند.

منبع: یافته‌های پژوهش



شکل ۱۰. تغییرات سطوح کاربری اراضی ساخته‌شده در سال‌های ۱۹۸۹ و ۲۰۱۵

منبع: یافته‌های پژوهش

سنجش از دور و GIS ایران

سال دوازدهم = شماره چهارم = زمستان ۱۳۹۹

۴-۱- سنجش گستردگی با استفاده از مدل هلدرن

این نسبت برای سال ۱۳۶۸ تا ۱۳۹۵ برآورد شده است.

$$Ln\left(\frac{\text{سرانه ناخالص سال ۱۳۹۵}}{\text{سرانه ناخالص سال ۱۳۶۸}}\right) = Ln\left(\frac{\text{جمعیت سال ۱۳۹۵}}{\text{جمعیت سال ۱۳۶۸}}\right) + Ln\left(\frac{\text{وسعت شهر در سال ۱۳۹۵}}{\text{وسعت شهر در سال ۱۳۶۸}}\right)$$

$$\ln(116/79 \div 106/37) + \ln(716610 \div 344521) = \ln(8370 \div 3665)$$

$$0/11 + 0/89 = 1$$

ملاحظه می‌شود که از سال ۱۳۶۸ تا سال ۱۳۹۵، ۸۹٪ از رشد فیزیکی شهر ارومیه ناشی از رشد جمعیت و ۱۱٪ دیگر ناشی از گسترش کالبدی شهر بوده است. طی این پدیده، بسیاری از باغات و اراضی زراعی در محدوده شهر ادغام شده و تغییر کاربری یافته‌اند که در صورت وجود برنامه‌ریزی صحیح و بلندمدت، می‌شد از این تغییرات مازاد بر نیاز جلوگیری کرد.

در ادامه، برای پیش‌بینی روند رشد شهر ارومیه و به‌منظور نیل به برنامه‌ریزی هوشمندانه و انتخاب جهات مناسب توسعه شهر، از مدل پیش‌بینی شبکه‌های عصبی استفاده شده است. متغیرهای مورد استفاده در مدل شبکه عصبی در جدول ۴ آمده است.

برای به‌دست‌آوردن متغیر وابسته (گسسته)، ابتدا، از نقشه‌های کاربری اراضی سال ۱۹۸۹ و ۲۰۱۵، کلاس اراضی ساخته‌شده با فرمت رستری استخراج و با استفاده از تفریق نقشه‌های یادشده از همدیگر، نقشه تغییرات روی داده طی ۲۶ سال، با دو لایه ۰ و ۱، تهیه و به‌صورت متغیر وابسته برای اجرا وارد مدل شبکه عصبی شد (شکل ۱۱).

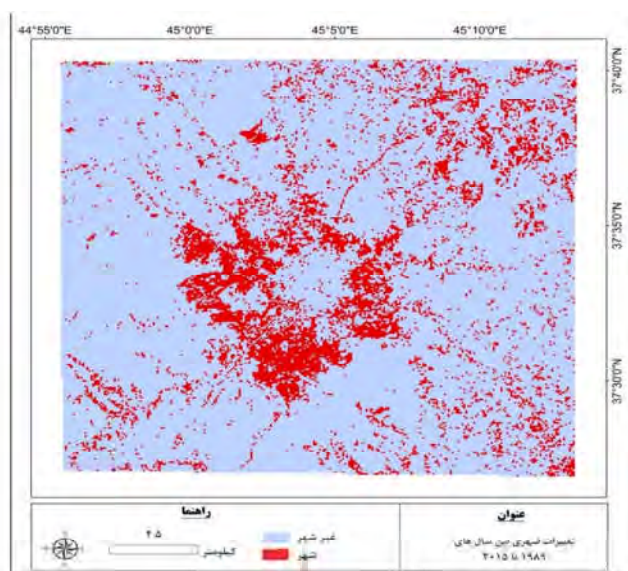
برای استخراج متغیرهای مستقل، لایه‌های اکولوژیکی مؤثر در توسعه شهری، براساس پیشینه تحقیق و از منابع گوناگون، تهیه و در دو دسته متغیرهای طبیعی و انسانی (کالبدی، اجتماعی و اقتصادی) وارد مدل شد (جدول ۵، شکل ۱۲).

جدول ۴. متغیرهای مورد استفاده در مدل شبکه عصبی

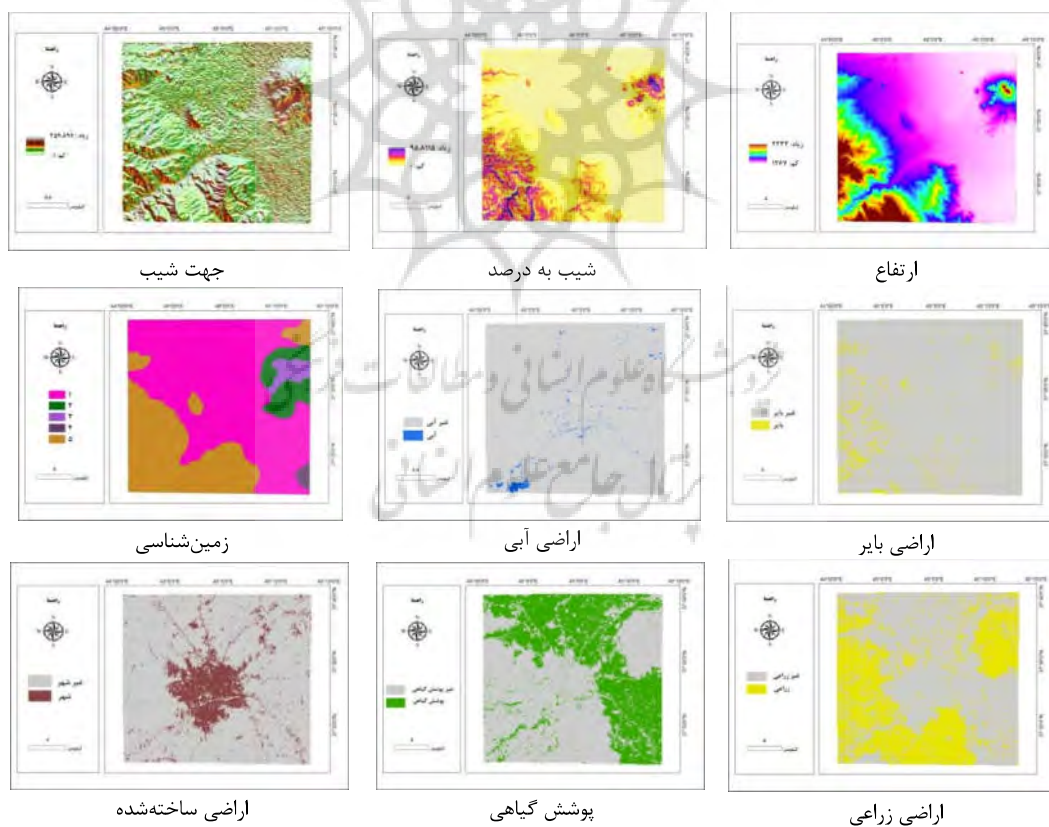
منبع	ماهیت متغیر	نام متغیر	نوع متغیر	متغیر وابسته
تابع تفریق، تصاویر ماهواره‌ای	بولین (۱ شهر - ۰ غیرشهر)	تغییرات شهری		وابسته
تابع aspect، نقشه توپوگرافی	پیوسته	درصد شیب	طبیعی	
تابع DEM، Reclass	پیوسته	ارتفاع		
تابع Reclass، نقشه زمین‌شناسی	پیوسته	زمین‌شناسی		
طبقه‌بندی تصاویر، تصاویر ماهواره‌ای دانلودشده از سایت USGS	بولین کلاس‌ها	کاربری اراضی (پنج متغیر)		مستقل
تابع Distance، سازمان مدیریت و برنامه‌ریزی استان آذربایجان غربی	پیوسته	فاصله از راه	انسانی	
تابع Distance، سازمان مدیریت و برنامه‌ریزی استان آذربایجان غربی	پیوسته	فاصله از خط انتقال نیرو	(کالبدی، اجتماعی، اقتصادی)	
تابع Distance، سازمان مدیریت و برنامه‌ریزی استان آذربایجان غربی	پیوسته	فاصله از مراکز شهری		
تابع Distance، سازمان مدیریت و برنامه‌ریزی استان آذربایجان غربی	پیوسته	فاصله از مناطق تجاری		

منبع: یافته‌های پژوهش

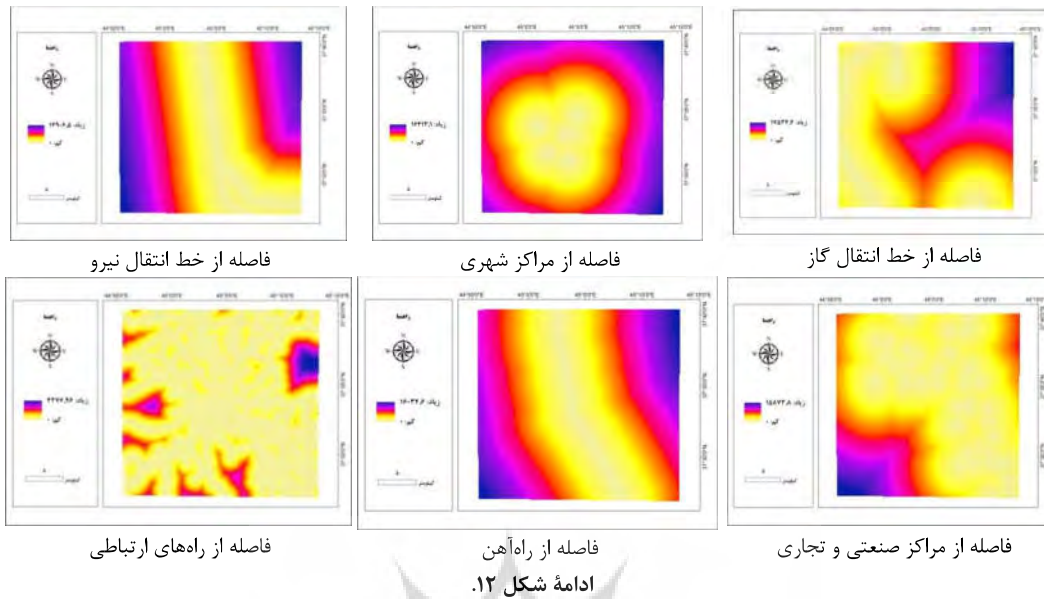




شکل ۱۱. متغیر وابسته تغییرات شهری از سال ۱۹۸۹ تا ۲۰۱۵  
منبع: یافته‌های پژوهش



شکل ۱۲. متغیرهای مستقل مورد استفاده در بررسی روند تغییرات از سال‌های ۱۹۸۹ تا ۲۰۱۵  
منبع: یافته‌های پژوهش



از ۰.۴ قابل قبول است. مدل، در ۱۰۰۰۰ تکرار برای پانزده لایه ورودی، به خطای کمتر از ۰.۰۱ رسیده و میزان خطای آموزش و خطای تست، به ترتیب، ۰.۲۴ و ۰.۲۷ است.

جدول ۶. میزان صحت و پارامترهای دیگر حاصل از اجرای مدل شبکه عصبی

ارقام به دست آمده	پارامترهای مدل
۰.۰۱	خطای قابل قبول
۱۰۰۰۰	تکرار
۰.۲۴	خطای آموزش
۰.۲۷	خطای تست
۰.۷۳	ضریب تعیین

منبع: یافته‌های پژوهش

دقت نقشه احتمالی پیش‌بینی شده، با استفاده از ۱۰۰ حد آستانه، برابر با ۸۲.۵۵ به دست آمده که نشان‌دهنده عملکرد دقیق شبکه عصبی در این تحقیق، در شناسایی پیکسل‌های با بالاترین پتانسیل برای گسترش شهری، است.

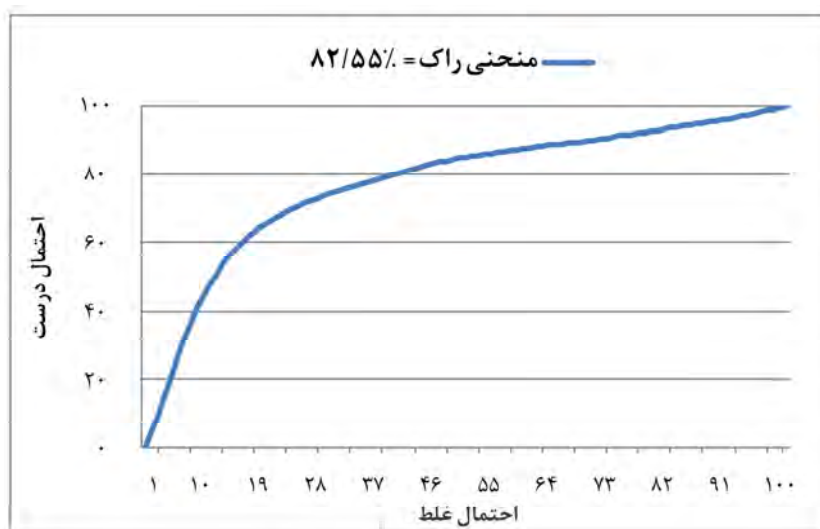
مطابق مدل شبکه عصبی، کاربری‌های اصلی به شرح جدول ۵ پیش‌بینی شده است. این ارقام، برای طبقه ساخته شده در سال ۲۰۴۵، برابر با ۱۳۰۱۲.۷ هکتار و برای اراضی زراعی و پوشش گیاهی، به ترتیب، برابر با ۱۷۳۶۱.۲ و ۲۰۹۳۱ هکتار است. این اعداد از کاهش کاربری‌های زراعی و باغی و افزایش کاربری ساخته شده در سال ۲۰۴۵ حکایت دارند.

جدول ۵. پیش‌بینی طبقات کاربری اراضی برای افق ۲۰۴۵

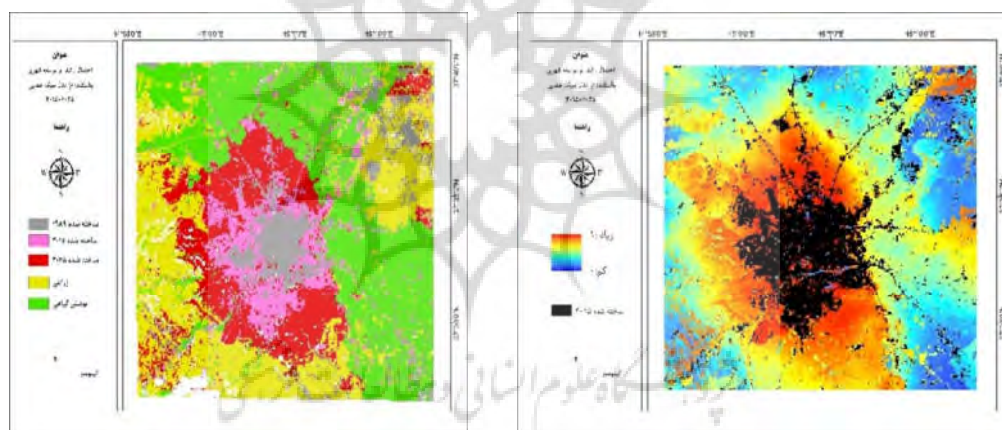
کلاس پوشش اراضی	مساحت (هکتار)
ساخته شده در سال ۱۹۸۹	۷۴۶۹.۱
ساخته شده در سال ۲۰۱۵	۹۴۳۶.۹
ساخته شده در سال ۲۰۴۵	۱۳۰۱۲.۷
ساخته شده کل	۲۲۷۴۹.۶
زراعی در سال ۲۰۴۵	۱۷۳۶۱.۲
پوشش گیاهی در سال ۲۰۴۵	۲۰۹۳۱

منبع: یافته‌های پژوهش

طبق جدول ۶، ضریب تعیین به دست آمده قابل قبول و برابر با ۰.۷۳ است. برای این ضریب، ارقام بالاتر



شکل ۱۳. نمودار راک  
منبع: یافته‌های پژوهش



شکل ۱۴. نقشه احتمال توسعه شهر براساس مدل شبکه عصبی، برای افق ۲۰۴۵  
منبع: یافته‌های پژوهش

## ۵- نتیجه‌گیری

در این پژوهش، با هدف ارزیابی تغییرات کاربری اراضی شهر ارومیه طی دوره ۱۹۸۹ تا ۲۰۱۵، از روش‌های ماشین بردار پشتیبان و شبکه‌های عصبی استفاده شد و نتایج بیانگر تغییرات در کاربری‌های محدوده مورد مطالعه و افزایش ضریب ساخت‌وساز است. باتوجه به دقت بالای طبقه‌بندی شبکه عصبی، از نتایج این نوع طبقه‌بندی برای پیش‌بینی تغییرات در افق ۲۰۴۵ استفاده شده است. طبق

پایش تغییرات محیطی ابزاری مهم و کلیدی برای مدیریت توسعه شهری و منطقه‌ای محسوب می‌شوند. این کار مهم، به‌منظور نیل به اهداف توسعه پایدار و صیانت از محیط‌زیست، امری اساسی به‌شمار می‌رود. روش‌ها و الگوهای متنوعی برای پایش تغییرات در حوزه کاربری اراضی مورد استناد قرار می‌گیرد و به‌کار می‌رود که هر یک دارای نقاط ضعف و قوتی است.



براتی قهفرخی، س.، سلطانی کویایی، س.، خواجه‌الدین، س.ج.، رایگانی، ب.، ۱۳۸۸، بررسی تغییرات کاربری اراضی در زیر حوزه قلعه شاهرخ با استفاده از تکنیک سنجش از دور (دوره زمانی ۱۳۸۱-۱۳۵۴)، مجله علوم و فنون کشاورزی و منابع طبیعی، ج. ۱۳، شماره ۴۷، صص. ۳۴۹-۳۶۵. بهرام سلطانی، کامبیز (۱۳۷۱). مجموعه مباحث و روش های شهرسازی، محیط‌زیست. مرکز مطالعات و تحقیقات شهرسازی و معماری ایران.

توکلی، م.، فاضل‌نیا، غ.، حسنی، ص.، ۱۳۹۴، بررسی اثرات تغییرات کاربری اراضی بر امنیت غذایی (مطالعه موردی: شهر مشهد ریزه)، دومین همایش یافته‌های نوین در محیط‌زیست و اکوسیستم‌های کشاورزی، تهران، پژوهشکده انرژی‌های نو و محیط‌زیست دانشگاه تهران

جرجانی، م.ح.، ۱۳۸۸، توسعه فیزیکی شهر و تأثیر آن بر تغییر کاربری اراضی کشاورزی (گنبدکاووس). پایان‌نامه کارشناسی ارشد جغرافیا و برنامه‌ریزی شهری، دانشکده جغرافیا، دانشگاه تهران.

جوادی، ی.، ۱۳۸۷، مدل‌سازی تغییرات پوشش زمین با استفاده از Automata Cellular در محیط GIS، پایان‌نامه کارشناسی ارشد، پردیس دانشکده‌های فنی دانشگاه تهران.

حاجی‌نژاد، ع.، داودی منظم، ز.، عباس‌نیا، م.، پورهایمی، س.، ۱۳۹۳، پیش تغییرات کاربری اراضی با استفاده از تکنیک سنجش از دور (مطالعه موردی: شهرستان شهریار)، فصلنامه سنجش از دور و سامانه اطلاعات جغرافیایی در منابع طبیعی، سال ۵، شماره ۱، صص. ۱-۱۳. حکمت‌نیا، ح.، موسوی، م.ن.، ۱۳۹۲، کاربرد مدل در جغرافیا با تأکید بر برنامه‌ریزی شهری و ناحیه‌ای، انتشارات آزادپیما، چاپ سوم.

این نتایج، اراضی ساخته‌شده در سال ۱۹۸۹ برابر با ۷۴۶۹.۱ هکتار بوده و در سال‌های ۲۰۰۲ و ۲۰۱۵، به ترتیب، به ۹۲۱۷.۳ و ۹۴۳۶.۹ هکتار رسیده است. این میزان، در سال ۲۰۴۵، براساس مدل پیش‌بینی شبکه عصبی برابر با ۲۲۴۴۹.۶ هکتار خواهد بود که ۱۳۰۱۲.۷ هکتار افزایش را در اراضی ساخته‌شده نشان می‌دهد. ضریب تعیین (۰.۷۳) و منحنی راک (۸۲.۵۵٪) نیز دقت بالای مدل شبکه عصبی را در پیش‌بینی تغییرات گسترش شهری برای سال ۲۰۴۵، بیان می‌کنند. دقت بالای این مدل، در قیاس با دیگر روش‌ها، با یافته‌های تحقیقات مظاهری و همکاران (۱۳۹۲) و شیخ‌گودرزی و همکاران (۱۳۹۵) همخوانی دارد.

همچنین، براساس مدل هلدرن، می‌توان ادعا کرد تمامی این ساخت‌وسازها بر مبنای نیاز واقعی شهر صورت نگرفته‌اند و پدیده اسپرال اتفاق افتاده است. این نکته با نتایج تحقیق روستایی و همکاران (۱۳۹۱) در مورد شهر ارومیه مطابقت دارد. در نهایت، با استفاده از روند رشد اتفاق افتاده و شاخص‌های پانزده‌گانه، رشد محدوده در افق ۲۰۴۵ پیش‌بینی شد که نتایج حاکی از افزایش ادامه‌دار ساخت‌وسازها و کاهش فضاهای سبز و اراضی زراعی است. ضروری است که با مدنظر قراردادن رشد ادوار گذشته، به‌منظور حفاظت از محیط‌زیست شهری و منطقه‌ای، برنامه‌ریزی هوشمندانه‌ای در زمینه کاربری اراضی انجام شود و آثار سوء بورس‌سازی زمین به کمترین میزان برسد.

## ۶- منابع

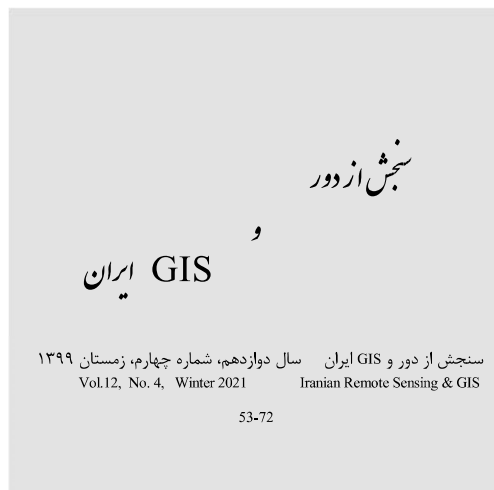
استانداری آذربایجان غربی، ۱۳۹۴، سالنامه آماری استان آذربایجان غربی، ج ۱.

آرخی، ص.، نیازی، ی.، ارزانی، ح.، ۱۳۹۰، مقایسه تکنیک‌های مختلف پیش تغییر کاربری اراضی / پوشش گیاهی با استفاده از RS & GIS (مطالعه موردی: حوزه دره شهر استان ایلام)، فصلنامه علوم محیطی، سال ۸، شماره ۳، صص. ۹۶-۸۱.

- مشکینی، ابوالفضل، اصغر تیموری، زینب السادات مطهری، رفیعیان، مجتبی. (۱۳۹۲) **سنجش گستردگی شهری و تأثیر آن بر تغییرات کاربری اراضی با استفاده از RS و GIS**. نمونه موردی: شهر کرج طی دوره ۱۳۹۱-۱۳۶۳. معماری و شهرسازی آرمان شهر، ۹(۱۷)، ۳۷۵-۳۸۷.
- مشکینی، ابوالفضل، مولایی قلیچی، محمد و خاوربان گرمسیر، امیررضا، (۱۳۹۵). **روندهای پراکنده‌رویی شهری و برنامه‌ریزی توسعه فضایی پایدار (مطالعه موردی: منطقه ۲ تهران)**، معماری و شهر پایدار، دوره ۴، شماره ۲، ۴۳-۵۴.
- مظاهری، م.ر.، اسفندیاری، م.، مسیح‌آبادی، م.ح.، کمالی، ا.، ۱۳۹۲. **پایش تغییرات زمانی کاربری اراضی با استفاده از تکنیک‌های سنجش از دور و سیستم اطلاعات جغرافیایی (مطالعه موردی: جیرفت، استان کرمان)**، مجله کاربرد سنجش از دور و GIS در علوم منابع طبیعی، سال ۴، شماره ۲، صص. ۳۹-۲۵.
- یوسفی، ص.، مرادی، ح.ر.، حسینی، س.ح.، میرزایی، س.، ۱۳۹۰. **پایش تغییرات کاربری اراضی مریان با استفاده از سنجنده‌های TM و + ETM ماهواره لندست**، دوره ۲، شماره ۳، صص. ۱۰۵-۹۷.
- Berling-Wolff, S., Wu, J., 2004, **Modeling Urban Landscape Dynamics: A Review**, Ecological Research, 19(1), PP. 119-129.
- Burges, C.J.C., 1998, **A Tutorial on Support Vector Machines for Pattern Recognition**, Data Mining and Knowledge Discovery, 2, PP. 121-158.
- Chiotti, Q., 2004, **Toroto's Environment: A Discussion on Urban Sprawl and Atmospheric Impacts**, Air Program Director and Senior Scientist, Pollution Probe.
- رحمانی‌فرد، ح.، ۱۳۸۷، **بررسی ظ: شهر همدان**، اولین همایش ملی ژئوماتیک در منابع طبیعی و محیط‌زیست، دانشگاه تهران.
- شیخ‌گودرزی، م.، جباریان امیری، ب.، جعفری، ش.، ۱۳۹۵، **بررسی قابلیت‌های مدل شبکه عصبی مصنوعی در شبیه‌سازی توسعه شهری با کاربرد نمایه‌های عامل نسبی و بوم‌شناختی سیمای سرزمین؛ مطالعه موردی: شهر ساحلی هشتپر**، پژوهش‌های محیط‌زیست، سال ۷، شماره ۱۴، صص. ۱۹۰-۱۸۱.
- شبیعه، ا.، ۱۳۷۷، **مقدمه‌ای بر مبانی برنامه‌ریزی شهری**، انتشارات دانشگاه علم و صنعت.
- ضیا توانا، م.ح.، قادرمزی، ح.، ۱۳۸۸، **تغییرات کاربری اراضی روستاهای پیراشهری در فرآیند خزش شهر روستاهای نایسر و حسن‌آباد سنندج**، نشریه پژوهش‌های جغرافیای انسانی، دوره ۴۲، شماره ۶۸، صص. ۱۳۵-۱۱۹.
- کاظم، ا.ح.، حسینی، ف.، آل‌شیخ، ع.ا.، ۱۳۹۴، **مدل‌سازی رشد شهری با استفاده از تصاویر ماهواره‌ای متوسط مقیاس و مبتنی بر روش خودکاره‌های سلولی (مطالعه موردی: شهر تهران)**، فصلنامه علمی-پژوهشی اطلاعات جغرافیایی، دوره ۲۴، شماره ۹۴، صص. ۵۸-۴۵.
- کشاورز، ا.، قاسمیان یزدی، م.ح.، ۱۳۸۴، **یک الگوریتم سریع مبتنی بر ماشین بردار پشتیبان برای طبقه‌بندی تصاویر ابرطیفی با استفاده از همبستگی مکانی**، نشریه مهندسی برق و مهندسی کامپیوتر ایران، سال ۱، شماره ۳، صص. ۳۷-۴۴.
- محمودی، ب.، دانه‌کار، ا.، فقهی، ج.، ۱۳۹۴، **تغییرات پوشش اراضی و شدت استفاده از زمین در پهنه‌های توپوگرافیک استان مازندران**، مجله علوم و مهندسی محیط‌زیست، سال ۲، شماره ۲، صص. ۱۳-۷.

- Dixon, B. & Candade, N., 2008, **Multispectral Landuse Classification Using Neural Networks and Support Vector Machines: One or the Other, or Both?**, International J. of Remote Sensing, 29 (4), PP. 1185-1206.
- Eastman, J.R., 2006, **Guide to GIS and Image Processing**, Clark Labs, Clark University, Worcester, MA.
- Gahegan, M., German, G. & West, G., 1999, **Improving Neural Network Performance on the Classification of Complex Geographic Datasets**, Journal of Geographical Systems, No. 1, PP. 3-22.
- Gomez-Antonio, M., Hortas-Rico, M. & Li, L., 2014, **The Causes of Urban Sprawl in Spanish Urban Areas: A Spatial Approach**, (No. 1402), Universidade de Vigo, GEN-Governance and Economics Research Network.
- Guo, Y., De Jong, K., Liu, F., Wang, X. & Li, C., 2012, **A Comparison of Artificial Neural Networks and Support Vector Machines on Land Cover Classification**, Springer-Verlag Berlin Heidelberg, ISICA, CCIS 316, 531-539.  
<https://earthexplorer.usgs.gov/>.
- Huang, C., Davis, L.S. & Townshend, J.R.G., 2002, **An Assessment of Support Vector Machines for Land Cover Classification**, International J. of Remote Sensing, 23(4), PP. 725-749.
- Hung, C.C., Coleman, T.L. & Long, O., 2004, **Supervised and Unsupervised Neural Models for Multispectral Image Classification**, ISPRS, <http://www.isprs.org/istanbul2004/comm7/papers/20.pdf>.
- Liu, X.H., Skidmore, A.K. & Oosten, H.V., 2002, **Integration of Classification Methods for Improvement of Land-cover Map Accuracy**, ISPRS Journal of Photogrammetry & Remote Sensing, No. 56, PP. 257-268.
- Lu, D., Mausel, P., Brondi Zio, E. & Moran., E., 2004, **Chang Detection Techniques**, International Journal of Remote Sensing, 25(12), PP. 2365-2407.
- Mohammadian Mosammama , H., Tavakoli Nia, J., Khani, H., Teymouri, A., Kazemi, M., (2017). **Monitoring land use change and measuring urban sprawl based on its spatial form The case of Qom city**, The Egyptian Journal of Remote Sensing and Space Sciences, Vol 20 (1) , Pp 103- 116.
- Moradi, F., Saei Mehraban, R. & Sar Kargar Ardakani, A., 2014, **Land Surface Temperature Monitoring (LST) Using MODIS Imaging, Case Study of Tehran Province**, Tehran Geomatics Conference.
- Osuna, E., Freund, R. & Girosi, F., 1997, **Support Vector Machines: Training and Application**, A.I. Memo 1602, MIT A. I.Lab.
- Pao, Y.H., 1989, **Adaptive Pattern Recognition and Neural Networks**, Addison-Wesley Longman Publishing Co., Inc.
- Pijanowski, B.C., Brown, D.G., Shellitoc, B.A. & Manikd, G.A, 2002, **Using Neural Networks and GIS to Forecast Land Use Changes: A Land Transformation Model**, Computers, Environment and Urban Systems, Vol. 26, No. 6, PP. 553-575.
- Portugali, J., 2011, **Complexity, Cognition and the City**, Springer, Berlin.

- Portugali, J., Meyer, H. & Stolk, E., 2012, **Complexity Theories of Cities Have Come of Age; An Overview with Implications to Urban Planning and Design**, Springer.
- Richards, J.A., 2013, **Remote Sensing Digital Image Analysis**, fifth edition, Springer.
- Rumelhart, D., Hinton, G. & Williams, R., 1986, **Learning Internal Representations by Error Propagation**, In D.E. Rumelhart, and J.L. McClelland (Eds.), *Parallel Distributed Processing: Explorations in the Microstructures of Cognition*, Vol. 1, PP.: 318-362, Cambridge: MIT Press.
- Sun, C., Wu, Z.F., Lv, Z.Q., Yao, N & Wei, J.B, 2013, **Quantifying Different Types of Urban Growth and the Change Dynamic in Guangzhou Using Multi-Temporal Remote Sensing Data**, *International Journal of Applied Earth Observation and Geo Information*, Vol. 21, PP. 409-417.
- Vapnik, V.N., 1995, **The Nature of Statistical Learning Theory**, New York: Springer Verlag.
- Wakode, H.B., Baier, K., Jha, R., Azzam, R., 2014, **Analysis of Urban Growth Using Land Sat TM/ETM Data and GIS, a Case Study of Hyderabad, India**, *Arabian Journal of Geoscience*, 7(1), PP. 109-121.
- Watts, D., 2001, **Land Cover Mapping by Combinations of Multiple Artificial Neural Networks**, M.Sc. Thesis, Department of Geomatics Engineering, University of Calgary.
- Wijaya, A., 2005, **Application of Multi-Stage Classification to Detect Illegal Logging with the Use of Multi-Source Data**, M.Sc. Thesis, ITC, Enschede, The Netherlands.



## An Analysis on Land Use Process Changes and Forecasting in Urmia City Using SVM Model and Neural Networks

Khedmatzadeh A.<sup>1\*</sup>, Mousavi M.N.<sup>2</sup>, Mohammadi Torkamani H.<sup>3</sup>

1. M.Sc. Student of RS & GIS, Tabriz University, Tabriz

2. Associate Prof. of Geography and Urban Planning, Urmia University, Urmia

3. Ph.D. Student of Geography and Urban Planning, Tabriz University, Tabriz

### Abstract

The growth of the urban population has been led to increasing of the urban spaces and growth of the city size. as a result of further construction and alteration of the land available to the benefit of its built-up spaces. Special location the city of Urmia at proximity of the Urmia lake and unfavorable condition of this lake reveals the necessity of the proper landuse planning at this city. One of the required tools for proper planning in this field is the use of remote sensing techniques. The present study aims to evaluate these changes (period 1989-2015) and predict its future trend. SVM and neural network methods are used to evaluate changes in 5 classes Due to the high accuracy of the classification of the neural network, the results of this classification have been used to predict changes for the 2045 horizon. Land constructed in 1989 is 7469.1 hectares, reaching 9217.3 and 94366.9 hectares in 2002 and 2015 respectively, and by2045, according to the prediction model, the neural network is equal to 22449.6 hectares, which is built on lands 13012.7 Shows hectares of increase. The determination coefficient (0.73) and rock curve (82.55%) also indicate the high accuracy of the neural network model to predict urban development changes. The Helder method results shows that all of these constructions are not based on the real needs of the city And the sparse phenomenon has happened.

**Keywords:** Classification, Urmia City, Neural network, SVM, MLP.